



RESUMEN MENSUAL

Fig. 1

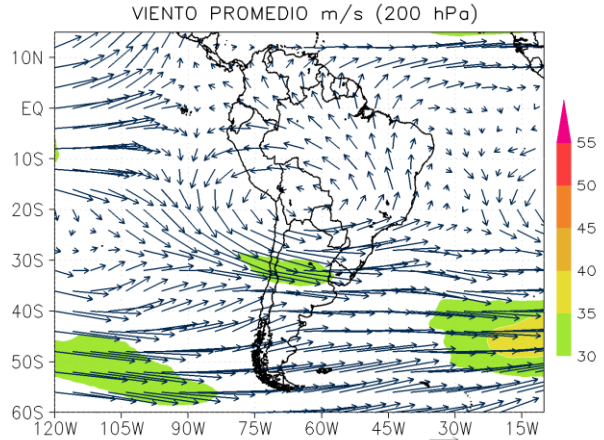


Fig. 2

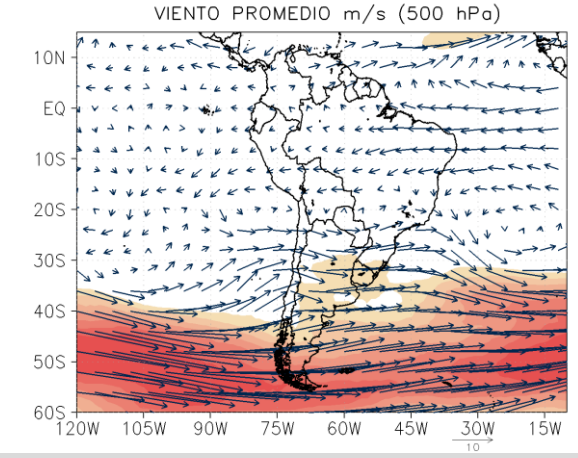
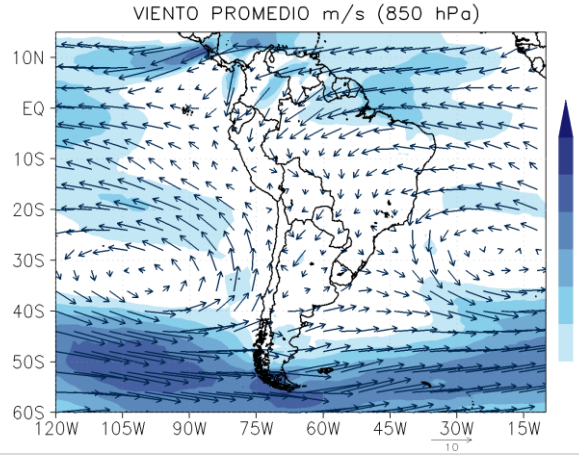


Fig. 3



En **niveles altos**, predominó el Alta de Bolivia (AB) posicionada sobre Bolivia, impulsando la ocurrencia de precipitaciones en la sierra sur y centro, así como la selva. El Ingreso de vientos del este en el sector norte beneficio la ocurrencia de lluvias en el sector norte.

En **niveles medios**, predominó un sistema anticiclónico sobre Bolivia, reflejo de la circulación en altura, y un flujo predominantemente del este, pero de poca intensidad, en latitudes medias se presentaron vaguadas de manera constante.

En **niveles bajos**, el Anticiclón del Pacífico Sur (APS), presentó valores de presión dentro de su normal, una configuración zonal y una posición más cercana a continente, hecho que beneficio el incremento de viento en la costa durante el mes. El Anticiclón del Atlántico Sur (AAS), en cambio, presentó, en promedio, una intensidad por debajo de su normal mensual. Por otro lado, anomalías positivas de agua precipitable se presentaron en la mayor parte de Sudamérica, con excepción de Colombia y el norte de Venezuela.

Fig. 4

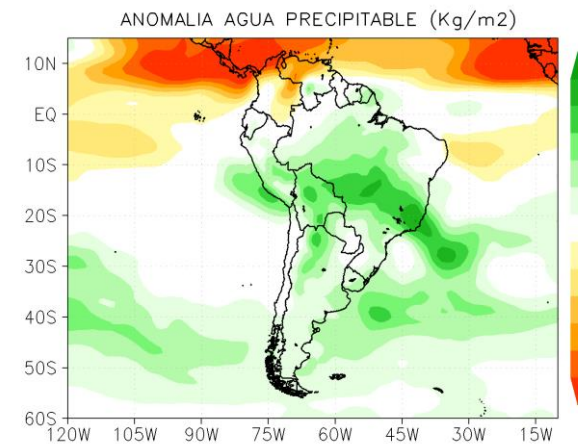
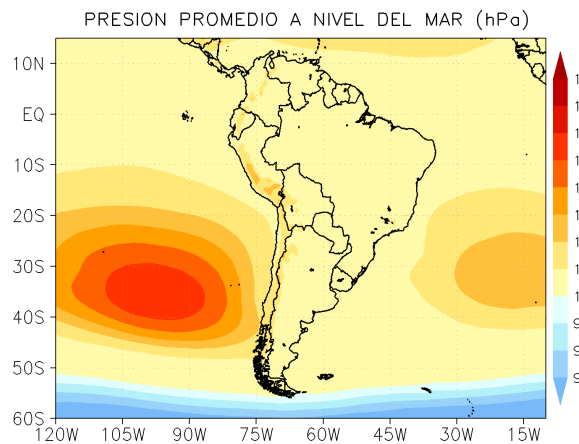


Fig. 5



PROMEDIOS

ANOMALÍAS Y PROMEDIOS

DECADIARIAS

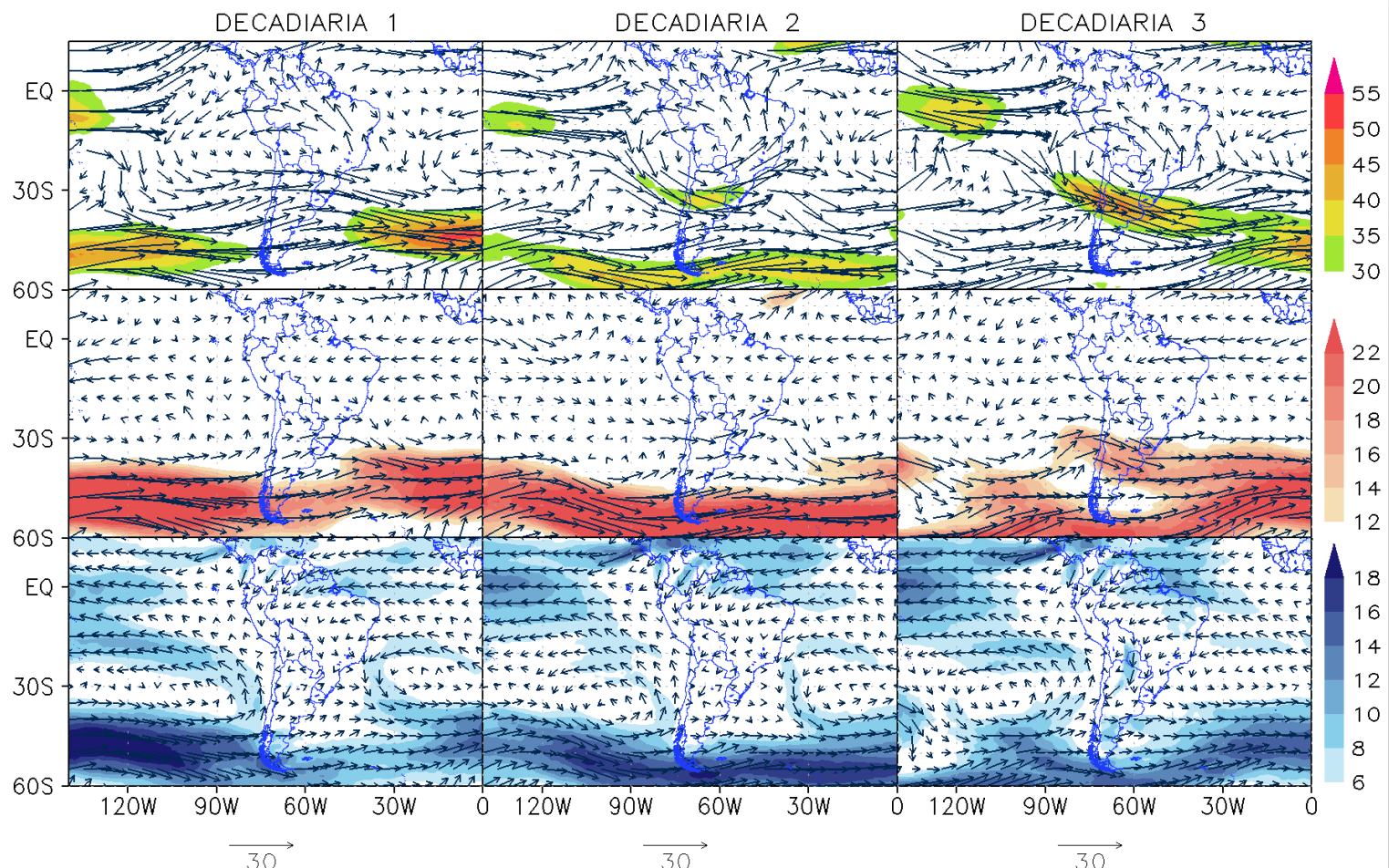
Durante la **1ra decadiaria**, en niveles altos la AB no se encuentra bien configurada y predominan los flujos del este en el norte. En niveles medios, no se observa un patrón predominante. En niveles bajos el APS esta bien definido y se observa un ingreso del jet de bajos niveles hacia la selva norte del Perú.

Durante la **2da decadiaria**, en niveles altos la AB se define bien sobre Bolivia, en conjunto con la vaguada del noreste de Brasil. En niveles medios se observa una circulación anticiclónica, reflejo de la configuración en altura. En niveles bajos el APS se debilita.

Durante la **3ra decadiaria**, en niveles altos se intensificó la AB y se encuentra acoplada al jet subtropical, en el norte del Perú se observa un encuentro de flujos del este y oeste sobre el Pacífico. En niveles medios se observa una configuración similar al anterior periodo, pero con una mayor predominancia de sistemas de vaguada en latitudes medias . En niveles bajos se intensificó el APS y se debilitó el AAS.

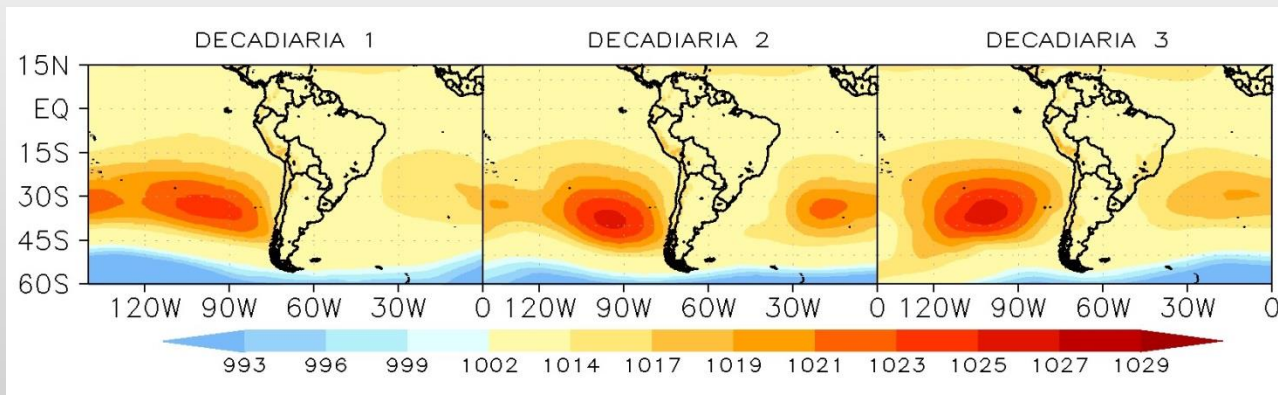
Fig. 6

VIENTO EN NIVELES ALTOS, MEDIOS Y BAJOS



PRESIÓN REDUCIDA A NIVEL DEL MAR

Fig. 7

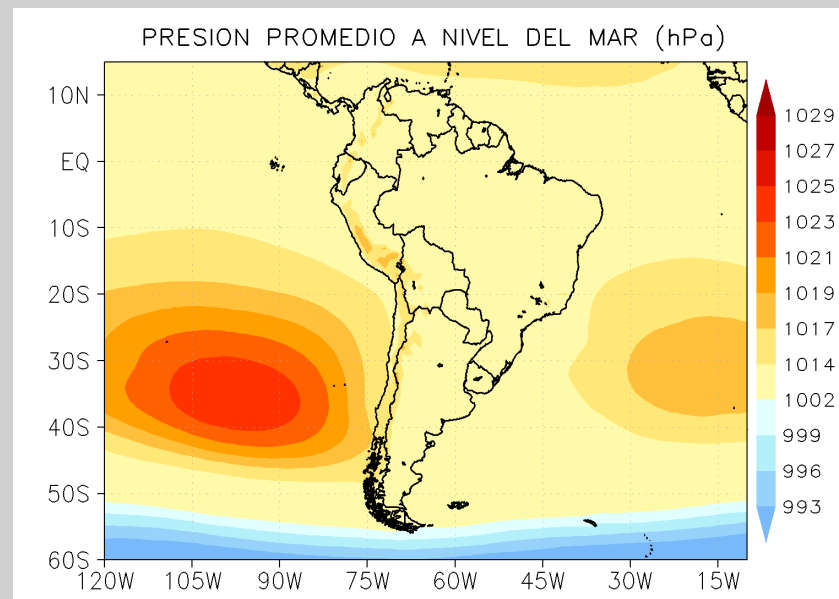


En la **primera decadiaria**, el Anticiclón del Pacífico Sur (APS) presentó valores dentro de su normal, con una configuración zonal, el Anticiclón del Atlántico Sur (AAS) presentó valores por debajo de su normal

En la **segunda decadiaria**, el APS se desplazó intensificó y tomó una configuración más meridional; en tanto que el AAS se intensificó y acercó al continente.

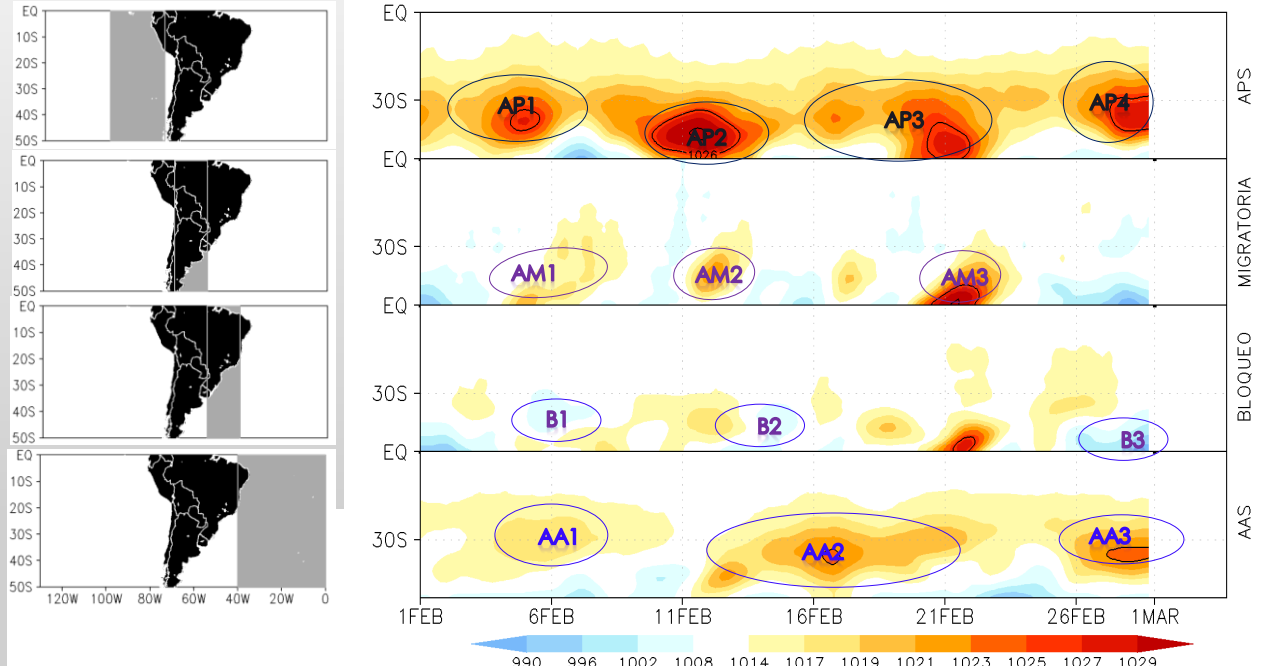
En la **tercera decadiaria**, el APS se observó con valores por encima de su normal, con una configuración zonal, el AAS se volvió a debilitar.

Fig. 8



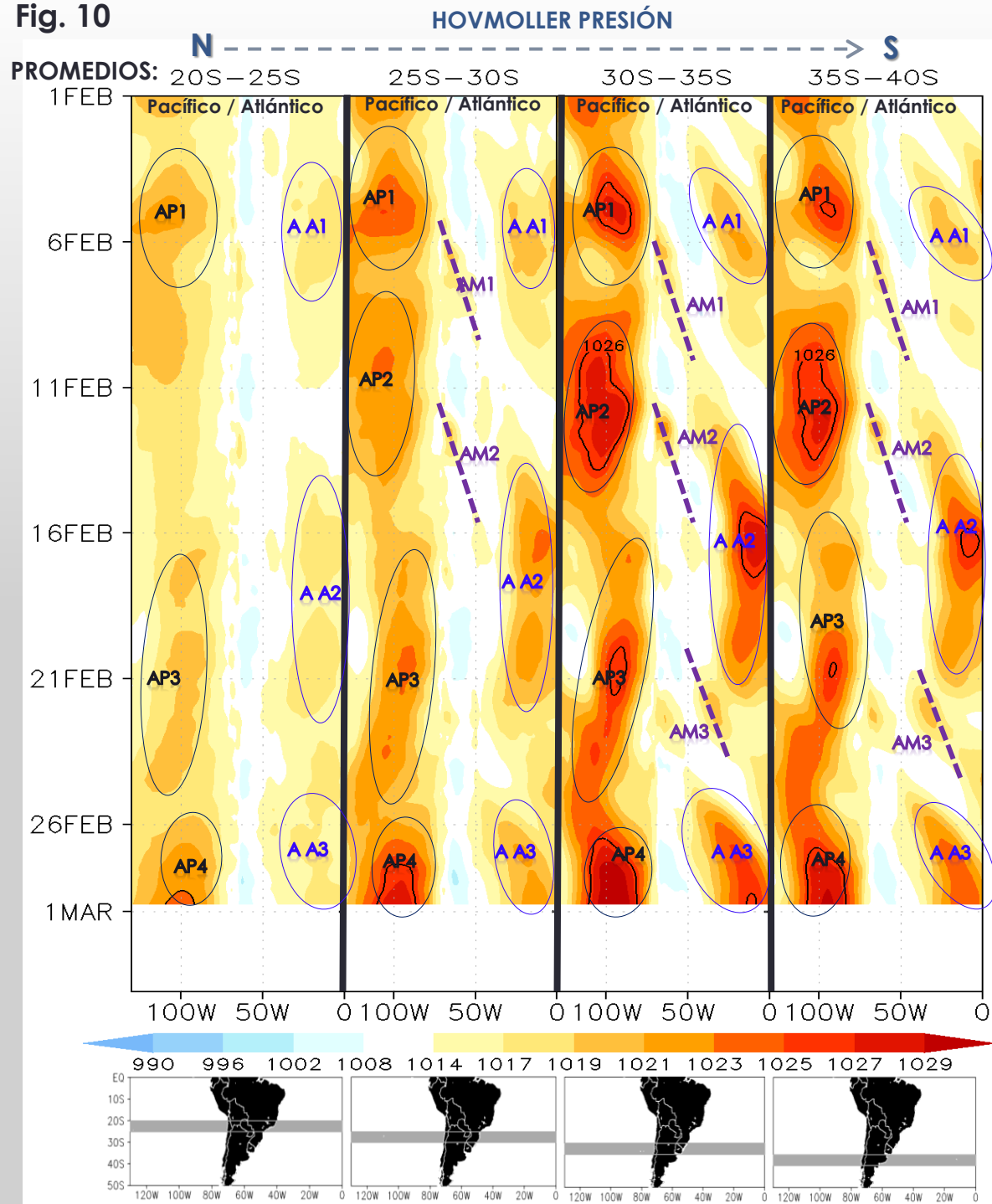
HOVMOLLER PRESIÓN

Fig. 9



En el mes de febrero, se observaron 4 núcleos del APS, siendo el más intenso el que se presentó durante la segunda decadiaria, con valores superiores a los 1029 hPa. Por otro lado, se observaron 3 núcleos del AAS, el más intenso se registró durante la tercera decadiaria, con valores superiores a los 1020 hPa. Además, se presentaron 3 altas migratorias (AM).

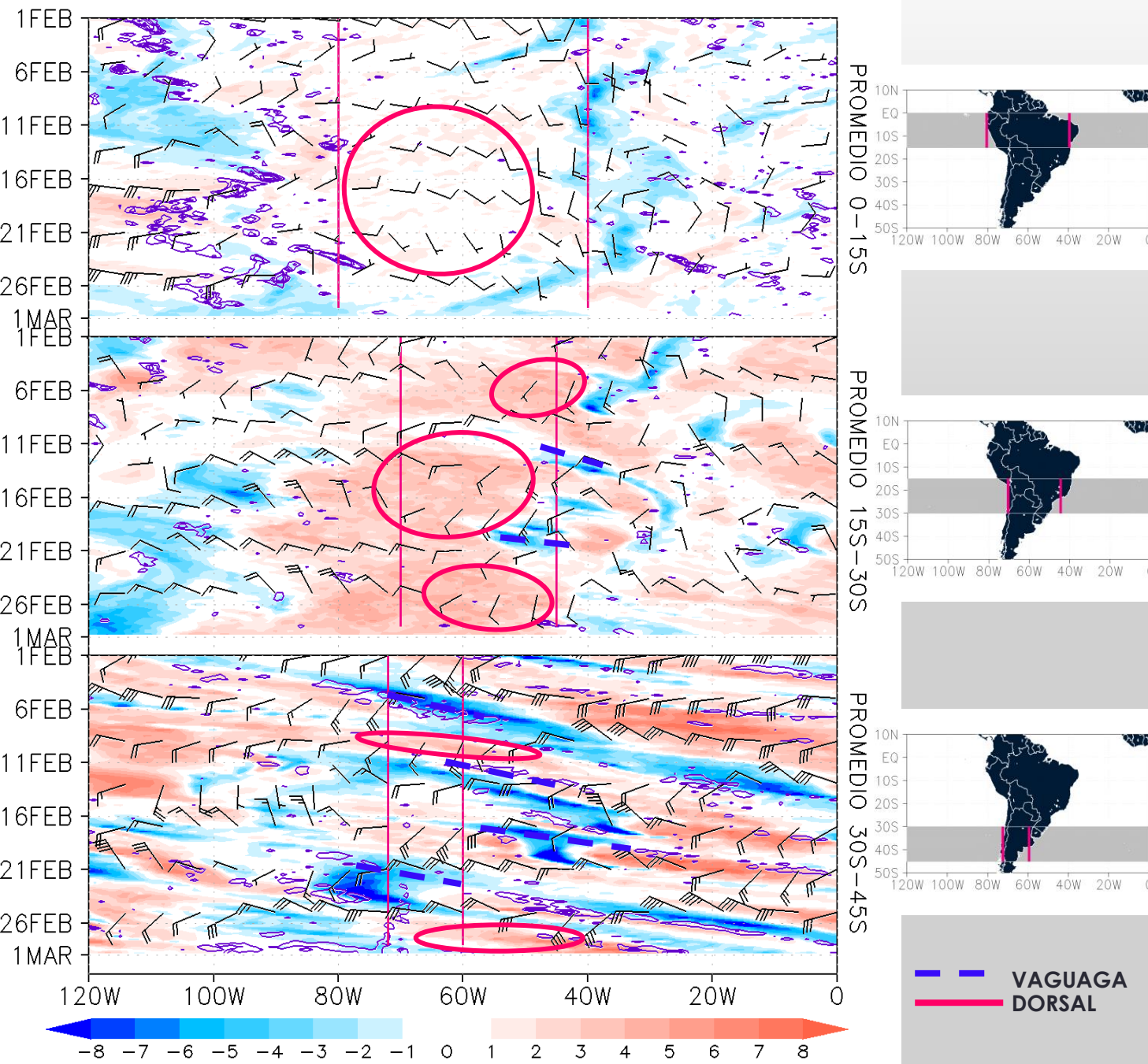
Fig. 10



NIVELES ALTOS

- En latitudes tropicales (0-15°S), se observó un predominio de vientos del este durante todo el mes. Al este del continente se observó la influencia de la vaguada del noreste de Brasil.
- En latitudes entre 15 y 30°S, domina la Alta de Bolivia a lo largo de todo el mes. Durante la segunda decadiaria se presentó un patrón de vaguada al este del continente.
- En latitudes mayores (30-45°S), se observó una predominancia de vorticidad negativa, gracias al la continua incursión de vaguadas.

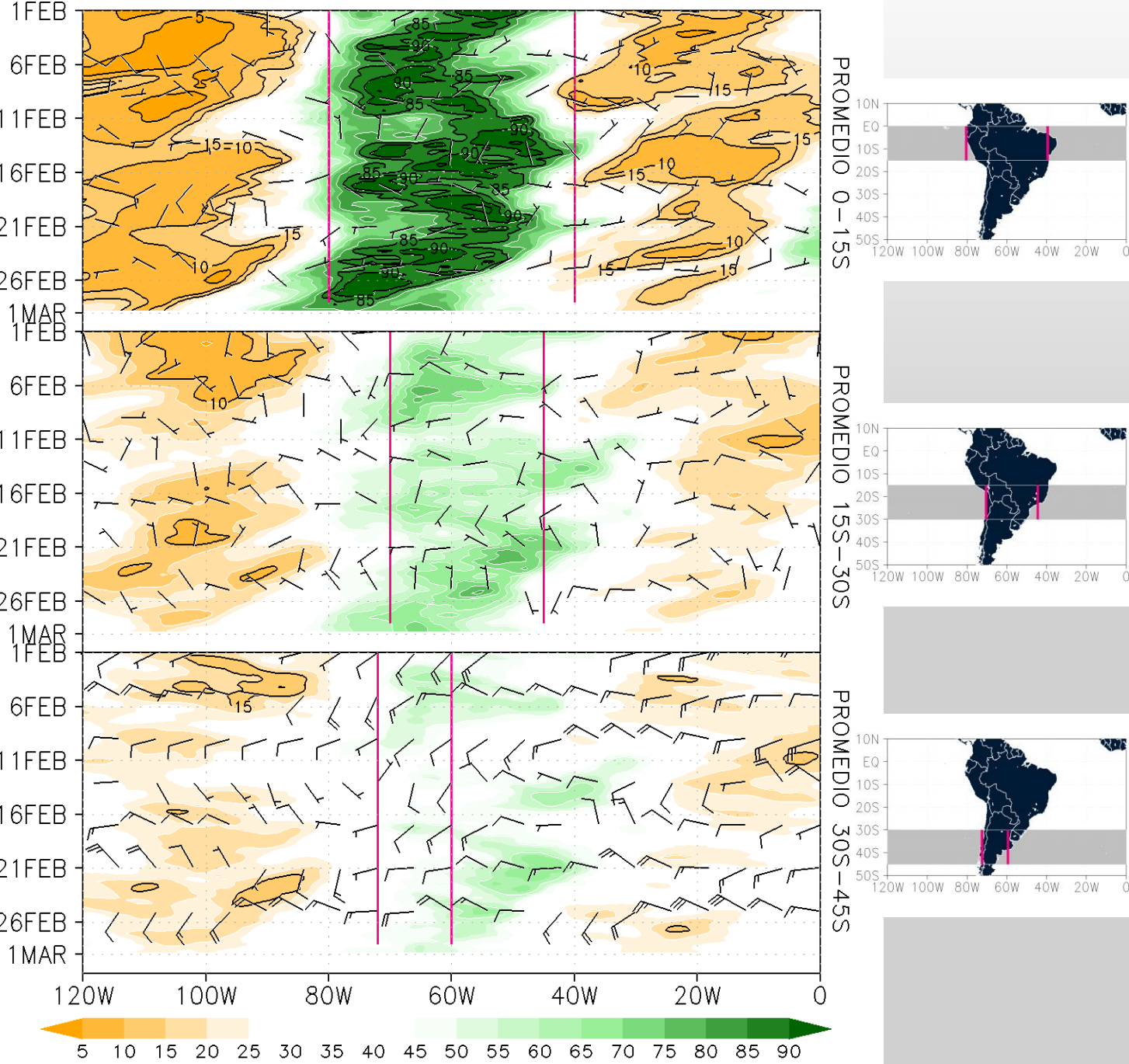
Fig. 11
HOVMOLLER VORTICIDAD RELATIVA (sombreado) Y VIENTO (barbas) EN 200 hPa



NIVELES MEDIOS

- En latitudes tropicales (0-15°S), se observa la presencia de alta humedad relativa en la mayor parte del sector, siendo ligeramente desplazada hacia el oeste por el continuo flujo de vientos del este.
- En la zona central de Sudamérica (15-30°S) se observó mayor humedad al oeste del continente durante la primera decadiaria y al este del continente, durante la tercera decadiaria, en tanto que en latitudes extra tropicales (30-45°S), se observó que la humedad se fue desplazando hacia el este a lo largo del mes.

Fig. 12 HOVMOLLER HUMEDAD RELATIVA PROMEDIO 500-600 (sombreado) Y VIENTO (barbas) 500 hPa PROMEDIO



NIVELES BAJOS

- En latitudes cercanas al Ecuador, se observó valores de relación de mezcla alrededor de los 13 g/Kg durante la mayor parte del mes, aumentando de manera localizada en la ultima decadiaria, con una predominancia de vientos del norte y noreste.
- En latitudes entre 15-30°S, se presentó los mayores valores de relación de mezcla (mayores a 15 g/Kg) durante la segunda mitad del mes. La humedad esta confinada al lado oeste del continente.
- En latitudes extratropicales (30-45°S), se observó los mayores valores de relación de mezcla superiores a 10 g/Kg durante la ultima semana del mes, al este del continente.

Fig. 13 HOVMOLLER RELACIÓN DE MEZCLA (g/kg) (shaded) Y VIENTO (barbas) 925 hPa PROMEDIO

